

I - 691

曲げねじりを考慮した立体骨組構造の座屈について

防衛施設庁 正員 井上 主勇
北海道大学工学部 正員 佐藤 浩一

1. はじめに 最近、コンピューターの目覚ましい発展により、構造解析分野においても平面骨組構造解析のみならず、立体骨組構造の振動解析、弾塑性解析、座屈解析などが可能になってきている。

本論文の目的は、有限要素法により立体骨組構造の座屈解析を行うものであり、具体的には以下のものである。(1)閉じ構造と開き構造の座屈荷重の比較。(2)偏心距離の違いによる座屈荷重の比較。(3)サンブナンのねじりと曲げねじりを考慮した初期応力マトリックスを誘導しサンブナンのねじりのみを考慮した場合の座屈荷重と、サンブナンのねじりと曲げねじりを考慮した場合の座屈荷重の比較を行う。

2. 初期応力マトリックスのための仮定 仮想衝式よりサンブナンのねじりと曲げねじりを考慮した初期応力マトリックスは(1)から(4)の仮定から初期節点変位ベクトルにより表す。

1) 軸方向変形 形状関数 $\{S\} = [1-Z/L, Z/L]$ 節点変位ベクトル $\{W\}^T = [W_1, W_3]$

2) 曲げ変位形 形状関数 $\{S\} = [1-3(Z/L)^2+2(Z/L)^3, L, (Z/L)-2(Z/L)^2+(Z/L)^3, 3(Z/L)^2-(Z/L)^3, L, -(Z/L)^2+(Z/L)^3]$

節点変位ベクトル $\{U_s\}^T = [U^{s1}, U^{s1'}, U^{s3}, U^{s3'}]$, $\{V_s\}^T = [V^{s1}, V^{s1'}, V^{s3}, V^{s3'}]$

3) ねじり変形 形状関数 $\{S\} = [1-3(Z/L)^2+2(Z/L)^3, L, (Z/L)-2(Z/L)^2+(Z/L)^3, 3(Z/L)^2-(Z/L)^3, L, -(Z/L)^2+(Z/L)^3]$

節点変位ベクトル $\{\theta\}^T = [\theta^{s1}, \theta^{s1'}, \theta^{s3}, \theta^{s3'}]$

4) 部材要素断面は2軸対称と仮定する。

3. 初期応力マトリックス 2の(1)から(4)の仮定より誘導された初期応力マトリックス K_a は以下のようになり、初期節点変位ベクトル $\{U_{si}, V_{si}, W_i, -V_{si}', U_{si}', \theta_i, \theta_i', U_{sj}, V_{sj}, W_j, -V_{sj}', U_{sj}', \theta_j, \theta_j'\}$ の順に対応している。また、マトリックスは簡略化のために略号を用いており、その略号は以下に示すとうりである。

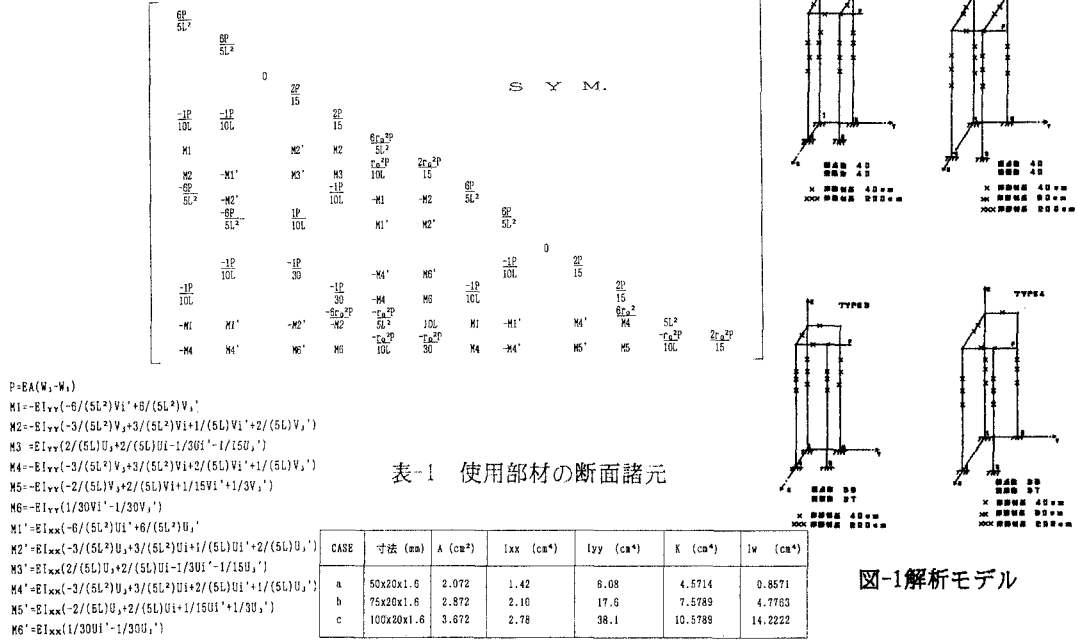


表-1 使用部材の断面諸元

図-1 解析モデル

3. 数値計算例

1) 解析モデル a) 解析モデルとして図-1に示すように、TYPE1、TYPE2、TYPE3、TYPE4の4種類とした。TYPE1、TYPE2は閉じ構造で、X軸方向部材長が40cmの場合がTYPE1であり、80cmの場合のものがTYPE2である。TYPE3、TYPE4は開き構造で、X軸方向部材長が40cmの場合がTYPE3であり、80cmの場合がTYPE4である。節点数要素数、部材長は図-5に示す通りである。境界条件は節点番号1、2、3、4を固定とする。また、表-1に示すようなJIS規格の角型鋼管3種類を用い上記のTYPE1からTYPE4までの合計12種類を解析モデルとした。

2) 解析結果 上記の12種類の解析モデル(閉じ構造、開き構造、X軸方向部材長、断面の違い)を用いた解析結果は表-2から表-6の通りである。表-2はサンブナンのねじりのみを考慮した場合の座屈荷重を示す表である。表-3はサンブナンのねじりと曲げねじりを考慮した場合の座屈荷重を示す表である。表-4はX軸方向部材長が等しい場合の閉じ構造と開き構造の座屈荷重比を示す表である。表-5は閉じ構造と開き構造ごとX軸方向部材の長さ40cmと80cmの場合の座屈荷重比を示す表である。表-6はサンブナンのねじりのみを考慮した場合とサンブナンのねじりと曲げねじりを考慮した場合の座屈荷重比を示す表である。

4. 考察 表-2、3、4よりTYPE3とTYPE4のような開き構造がTY

PE1とTYPE2の閉じ構造よりも座屈荷重が小さいことがわかった。す

なわち、開き構造の構造物に対しては、閉じ構造とすることは座屈荷重を大きくするために有効な手段であると思われる。また、サンブナンのねじりのみを考慮した場合でもサンブナンのねじりと曲げねじりを考慮した場合でも顕著な差は見られない。表-2、3、5より閉じ構造の場合でも開き構造においてでも、TYPE2とTYPE4のようなX軸方向部材長が長い方が本解析のような偏心荷重を受ける場合には座屈荷重が小さいことがわかる。特に開き構造の場合にその傾向

が顕著である。また、サンブナンのねじりのみを考慮した場合よりもサンブナンのねじりと曲げねじりを考慮した場合の方がその傾向

が大きく曲げねじりの影響が大きいと思われる。表-2、3、6より本解析モデルにおいては、サンブナンのねじりのみを考慮した場合よりもサンブナンのねじりと曲げねじりを考慮した場合の座屈荷重の方が小さくなることがわかる。特にTYPE2 CASE bの場合には座屈荷重が11%程度小さく最も曲げねじりの影響が大きいことがわかる。

5. あとがき 立体骨組構造の座屈荷重を検討する場合、サンブナンのねじりと曲げねじりを考慮する方が良い場合もあると思われる。

<参考文献>

- (1)川井 忠彦、藤谷 義信：座屈問題解析、倍風館、1991。(2)藤谷 義信：薄肉はり構造解析、倍風館、1991。(3)水上 考一 他：コンピューターによる数値計算、朝倉書店、1985。(4)川井 忠彦 他：有限要素法ハンドブック、倍風館、1981。

表-2 サンブナンのねじりのみを考慮

した場合の座屈荷重

	TYPE	CASE	座屈荷重(kg)	荷重番号
閉じ構造	TYPE1	a	2419.472	S1
		b	3999.873	S2
		c	5903.794	S3
	TYPE2	a	1499.256	S4
		b	2825.199	S5
		c	3806.789	S6
開き構造	TYPE3	a	2205.920	S7
		b	3870.428	S8
		c	5456.690	S9
	TYPE4	a	1258.852	S10
		b	2046.550	S11
		c	2980.270	S12

表-3 サンブナンのねじりと曲げねじりを考慮した場合の座屈荷重

	TYPE	断面	座屈荷重(kg)	荷重番号
閉じ構造	TYPE1	a	2402.009	B1
		b	3958.514	B2
		c	5818.061	B3
	TYPE2	a	1334.768	B4
		b	2352.976	B5
		c	3540.374	B6
開き構造	TYPE3	a	2188.083	B7
		b	3630.554	B8
		c	5375.104	B9
	TYPE4	a	1154.081	B10
		b	1938.772	B11
		c	2867.240	B12

表-4 閉じ構造と開き構造の座屈荷重比

		サンブナンのねじりのみ		サンブナンのねじり+曲げねじり	
閉じ OR 開き構造	CASE	80 cm 40 cm	座屈荷重 比 (%)	80 cm 40 cm	座屈荷重 比 (%)
閉じ構造	a	S4/S1 S5/S2 S8/S3	61.999 65.832 84.480	B1/B4 B2/B5 B3/B6	55.568 59.440 60.851
	b	S10/S7 S11/S8 S12/S9	57.066 55.757 54.025	B10/B7 B11/B8 B12/B9	52.743 53.313 53.342
	c				
開き構造	a	S10/S7 S11/S8 S12/S9	57.066 55.757 54.025	B10/B7 B11/B8 B12/B9	52.743 53.313 53.342
	b				
	c				

表-5 X軸方向部材長の違いによる座屈荷重比

		サンブナンのねじりのみ		サンブナンのねじり+曲げねじり	
X軸方向 部材長	CASE	開き構造 閉じ構造	座屈荷重 比 (%)	開き構造 閉じ構造	座屈荷重 比 (%)
40 cm	a	S7/S1 S8/S2 S9/S3	91.173 91.763 92.426	B7/B1 B8/B2 B9/B3	91.093 91.715 92.385
	b	S10/S4 S11/S5 S12/S6	83.965 77.957 78.288	B10/B4 B11/B5 B12/B6	85.453 82.396 80.988
	c				
80 cm	a	S10/S4 S11/S5 S12/S6	83.965 77.957 78.288	B10/B4 B11/B5 B12/B6	85.453 82.396 80.988
	b				
	c				

表-6 サンブナンのねじりのみを考慮した場合とサンブナンのねじりと曲げねじりを考慮した場合の座屈荷重比

	TYPE	CASE	B*/S*	座屈荷重 比 (%)
閉じ構造	TYPE1	a	B1/S1	99.360
		b	B2/S2	98.995
		c	B3/S3	98.547
開き構造	TYPE2	a	B4/S4	89.028
		b	B5/S5	89.630
		c	B6/S6	93.003
閉じ構造	TYPE3	a	B7/S7	99.191
		b	B8/S8	98.913
		c	B9/S9	98.504
開き構造	TYPE4	a	B10/S10	91.677
		b	B11/S11	94.733
		c	B12/S12	96.207